

О РАСЧЕТЕ ПУЛЬСАЦИОННЫХ ХАРАКТЕРИСТИК В ДАЛЬНЕМ СЛЕДЕ ЗА ТЕЛОМ

Л. И. Скурин

(Ленинград)

В настоящей работе приводятся полуэмпирические замкнутые уравнения баланса вторых моментов пульсационных полей температуры и концентрации реагирующей примеси. На основе этой системы исследуется влияние химической реакции типа диссоциативной рекомбинации на асимптотическое (при стремлении продольной координаты к бесконечности) поведение пульсаций электронной концентрации в следе за телом.

Уравнения для вторых моментов скалярных величин получим с помощью обычного приема из трехмерных уравнений сохранения концентраций и энергии, которые для сокращения записи запишем в виде

$$\sum_{k=1}^3 \frac{\partial}{\partial x_k} (\rho v_k \xi_i + I_{ik}) = w_i, \quad i = 1, 2, \dots, N+1,$$

где ρ — плотность; v_k — вектор скорости; I_{ik} — вектор диффузии; w_i — скорость образования i -го компонента вследствие химических реакций; ξ_i — относительная массовая концентрация i -го компонента; $i=1, 2, \dots, N$; индекс $N+1$ относится к температуре

$$\xi_{N+1} \equiv T, \quad I_{N+1, k} \equiv -\frac{\lambda}{c_p} \frac{\partial T}{\partial x_k},$$

а w_{N+1} представляет собой сумму членов, характеризующих работу сил давления и трения и тепловыделение вследствие химических реакций.

Умножая уравнение i -го компонента на ξ_j' , а уравнение j -го компонента на ξ_i' , складывая результаты и осредняя сумму, получим:

$$\begin{aligned} \sum_{k=1}^3 \frac{\partial}{\partial x_k} (\overline{\rho \xi_i' \xi_j' v_k} + \overline{\rho v_k' \xi_i' \xi_j'} + \overline{I_{ik}' \xi_j'} + \overline{I_{jk}' \xi_i'}) &= \sum_{k=1}^3 \left(-\overline{\rho v_k \xi_j} \frac{\partial \xi_i}{\partial x_k} - \overline{\rho v_k \xi_i} \frac{\partial \xi_j}{\partial x_k} + \right. \\ &+ \overline{I_{ik}' \frac{\partial \xi_j}{\partial x_k}} + \overline{I_{jk}' \frac{\partial \xi_i}{\partial x_k}} + \overline{w_i \xi_j} + \overline{w_j \xi_i} - v_k \overline{\rho' \xi_j} \frac{\partial \xi_i}{\partial x_k} - v_k \overline{\rho' \xi_i} \frac{\partial \xi_j}{\partial x_k} \Big), \quad i, j = 1, 2, \dots, N+1 \\ &+ 1. \end{aligned} \quad (1)$$

Здесь штрих означает пульсацию, черта — осреднение, $\rho = \bar{\rho} + \rho'$ (над первыми моментами черта опущена). Эти уравнения связывают вторые, третьи и четвертые моменты пульсационных полей и являются незамкнутыми. Ниже они замыкаются с помощью полуэмпирических гипотез.

Выразим третью и четвертую моменты через вторые взаимные моменты различных скалярных полей $\theta_{ij} = \overline{\xi_i' \xi_j'}/2$ с помощью гипотез:

$$\left. \begin{aligned} \frac{1}{2} \overline{\rho \xi_i' \xi_j'} &= \rho \theta_{ij}, \quad \frac{1}{2} \overline{\rho v_k' \xi_i' \xi_j'} = -b_{ij} \frac{\mu_r}{Sc_r} \frac{\partial |\theta_{ij}|}{\partial x_k}, \\ \overline{I_{ik}' \xi_j'} + \overline{I_{jk}' \xi_i'} &= b_{1ij} \mu \left(\frac{1}{Sc_i} + \frac{1}{Sc_j} \right) \frac{\partial \theta_{ij}}{\partial x_k}, \\ \overline{\rho v_k \xi_i} &= -\frac{\mu_r}{Sc_r} \frac{\partial \xi_i}{\partial x_k}, \quad \rho e_{ij} = \frac{1}{2} \sum_{k=1}^3 \left(\overline{I_{ik}' \frac{\partial \xi_j}{\partial x_k}} + \overline{I_{jk}' \frac{\partial \xi_i}{\partial x_k}} \right) = \left(\frac{c_{ij}}{Sc_r} \mu_r + \right. \\ &\quad \left. + \frac{c_{1ij}}{Sc_{ij}} \mu \right) \frac{\theta_{ij}}{\delta^2}. \end{aligned} \right\} \quad (2)$$

Здесь μ , μ_t — коэффициенты ламинарной и турбулентной вязкости, Sc_i , Sc_t — молекулярное (в общем случае эффективное) и турбулентное числа Шмидта, b_{ij} , b_{1ij} , c_{ij} , c_{1ij} — эмпирические постоянные, δ — характерный масштаб течения.

Второй момент $\overline{\rho' \xi'_i}$, пользуясь гипотезой, справедливой для малых концентраций ионов,

$$\overline{\rho' / \rho} = -T'/T \quad (3)$$

представим в виде

$$\overline{\rho' \xi'_i} = -\overline{\rho T' \xi'_i} / T = -2\overline{\rho \theta_{N+1,i}} / T. \quad (4)$$

Моменты, содержащие пульсационное поле $w_i(T, \rho, \xi_s)$, $i=1, 2, \dots, N$, выразим

$$\overline{w_i \xi_j} = 2\overline{\theta_{N+1,i}} \left(\frac{\partial w_i}{\partial T} - \frac{\rho}{T} \frac{\partial \omega_i}{\partial \rho} \right) + 2 \sum_{s=1}^N \overline{\theta_{si}} \frac{\partial \omega_i}{\partial \xi_s}, \quad (5)$$

$$i=1, 2, \dots, N, j=1, 2, \dots, N+1.$$

Эти соотношения выведены при использовании линейной части разложения в ряд функции w_i по своим аргументам и гипотезы (3). Момент $\overline{w_{N+1} \xi_i}$ считается приближенно равным нулю. Проведенные в [1] оценки и расчетные данные свидетельствуют о том, что во всяком случае при умеренных числах Маха значение этого момента пренебрежимо мало.

Подставляя (2) — (4) в уравнение (1) будем иметь в приближении пограничного слоя для осесимметричного потока (x , r — продольная и радиальная координата):

$$\rho v_x \frac{\partial \theta_{ij}}{\partial x} + \rho v_r \frac{\partial \theta_{ij}}{\partial r} = \frac{1}{r} \frac{\partial}{\partial r} \left[r \left(b_{ij} \frac{\mu_t}{Sc_t} \frac{\partial |\theta_{ij}|}{\partial r} + b_{1ij} \frac{\mu}{Sc_{ij}} \frac{\partial \theta_{ji}}{\partial r} \right) \right] + \frac{\mu_t}{Sc_t} \frac{\partial \xi_i}{\partial r} \frac{\partial \xi_j}{\partial r} - \left(\frac{c_{ij}}{Sc_t} \mu_t + \frac{c_{1ij}}{Sc_{ij}} \mu \right) \frac{\theta_{ij}}{\delta^2} + W_{ij} + A_{ij}, \quad (6)$$

$$A_{ij} \equiv \frac{\theta_{N+1,i}}{T} \left(\rho v_x \frac{\partial \xi_i}{\partial x} + \rho v_r \frac{\partial \xi_i}{\partial r} \right) + \frac{\theta_{N+1,i}}{T} \left(\rho v_x \frac{\partial \xi_j}{\partial x} + \rho v_r \frac{\partial \xi_j}{\partial r} \right), \quad (7)$$

$$W_{ij} \equiv (\overline{w_i \xi_j} + \overline{w_j \xi_i}) / 2; \quad Sc_{ij} \equiv (1/Sc_i + 1/Sc_j) / 2, \quad (8)$$

а момент $\overline{w_i \xi_j}$ вычисляется по формуле (5). Предпоследний член в правой части уравнения (6) характеризует влияние химических реакций на распределение момента θ_{ij} .

Часть из дифференциальных уравнений (6) может быть заменена простыми соотношениями

$$\theta_{ij} = \theta_{ij}, \quad \sum_{s=1}^N \theta_{sj} = 0; \quad \sum_{s=1}^N g_s \theta_{sj} / M_s = 0; \quad i, j = 1, 2, \dots, N+1, \quad (9)$$

где g_i , M_i — зарядовое число и молекулярный вес i -го компонента. Первые из этих соотношений очевидны, вторые следуют из условия $\sum_{i=1}^N \xi_i = 1$, третьи — из условия квазинейтральности.

В случае течения в следе за телом функции $\theta_{ij}(x, r)$ должны быть заданы в начальном сечении и удовлетворять следующим граничным условиям

$$(d\theta_{ij}/dr) |_{r=0} = \theta_{ij}(x, \infty) = 0. \quad (10)$$

Уравнения (6) должны интегрироваться совместно с системой уравнений, описывающей распределение скорости, температуры и концентрации отдельных компонент.

В работе [2] исследовано асимптотическое (при $x \rightarrow \infty$) решение этой системы уравнений для осесимметричного следа. Опираясь на результаты работы [2], будем искать асимптотическое решение уравнений (6) (без учета молекулярных эффектов)

$$\frac{\theta_{ij}}{\theta_{ij0}} \sim \vartheta^i_j(z); z = \sqrt{2S_{\tau} \ln 2} r/\delta, \quad (11)$$

где δ — полурадиус следа; \sim — знак асимптотического равенства, индекс 0 относится к оси следа.

Из определения ϑ_{ij} и из условий (10) следует, что эти функции должны удовлетворять условиям

$$\vartheta_{ij}(0) = 1; \vartheta_{ij}'(0) = \vartheta_{ij}(\infty) = 0 \quad (12)$$

(здесь и ниже штрих означает дифференцирование).

Относительно коэффициента турбулентной вязкости сделаем предположение

$$\mu_{\tau} \sim k u_0 \delta \rho_{\infty}; u \equiv v_{\infty} - v_x, \quad (13)$$

где k — эмпирическая постоянная. В работе [3] показано, что такое предположение приводит (при $k=0,04$) к согласующемуся с опытными данными распределению основных параметров следа на далеких расстояниях от тела.

Прежде всего покажем, что член A_{ij} , связанный со вторыми моментами, включающими пульсации плотности, не влияет на асимптотическое поведение θ_{ij} . Действительно, ниже будет найдено, что

$$\theta_{ij0} \sim \text{const } \chi_{i0} \chi_{j0}; \quad \chi_i = \xi_i - \xi_{i\infty}; \quad i = 1, 2, \dots, N; \quad \chi_{N+1} \equiv t \equiv \frac{T}{T_{\infty}} - 1 \quad (14)$$

(индекс ∞ относится к условиям на внешней границе следа). Согласно результатам работы [2],

$$t_0 \sim \text{const } u_0; \quad \delta \sim \sqrt{c_x \ln 2 / 8u_0} d \sqrt{v_{\infty}}, \quad (15)$$

$$\frac{u_0}{v_{\infty}} \sim \left(12 \sqrt{2 \ln 2} k \frac{x}{d} \right) \left(\sqrt{c_x} \right)^{-2/3}, \quad (16)$$

где c_x — коэффициент сопротивления тела; d — диаметр тела. Представим с учетом (13) — (16) член A_{ij0} и «диссипативный» член на оси в виде:

$$A_{ij0} \sim \text{const } t_0 \chi_{i0} \chi_{j0} / x, \\ c_{ij} \mu_{\tau} \theta_{ij0} / (S_{\tau} \delta^2) \sim \text{const } u_0 \chi_{i0} \chi_{j0} / \delta.$$

Отношение этих членов стремится к нулю при $x \rightarrow \infty$, поэтому при рассмотрении асимптотики член A_{ij} можно убрать из уравнений.

Выражение для W_{ij} зависит от состава смеси газов и системы химических реакций. В настоящей работе рассматривается простейший (и в то же время практически важный) случай — тройная смесь: ион (одного типа), электрон, атом (молекула). Присвоим в дальнейшем индекс 1 электронам, 2 — температуре. Тогда, учитывая соотношения (9), можно заметить, что достаточно исследовать дифференциальные уравнения (6) лишь для моментов $\theta_{11}, \theta_{12}, \theta_{22}$.

Предположим для определенности, что электроны участвуют в реакции диссоциативной рекомбинации (например, $\text{Ar}_2^+ + e \rightarrow 2\text{Ar}$, $\text{NO}^+ + e \rightarrow \text{N} + \text{O}$ и т. д.), константа скорости которой

$$K(T) = \alpha(T)^{-3/2}.$$

Тогда имеем

$$\frac{w_1}{\rho_{\infty} v_{\infty} / d} = - A \left(\frac{T}{T_{\infty}} \right)^{-3/2} \left(\frac{\rho}{\rho_{\infty}} \right)^2 \xi_1^2; \quad A = \frac{d \rho_{\infty} \alpha}{T_{\infty}^{3/2} v_{\infty} M_1};$$

$$W_{11} = 4\theta_{11}\omega_1/\xi_1 - 7\theta_{12}\omega_1/T; \quad W_{12} = 2\theta_{12}\omega_1/\xi_1 - 7\theta_{22}\omega_1/2T. \quad (17)$$

Величина \bar{W}_{22} в соответствии со сделанным замечанием принята равной нулю.

Представляет интерес [3] рассмотреть асимптотическое решение уравнений (6) без учета молекулярных эффектов, что соответствует предположению о бесконечном значении числа Рейнольдса.

Поскольку в настоящее время опытный материал, относящийся к пульсационным параметрам примеси в следе за телом, весьма ограничен, положим (основываясь на данных, относящихся к несжимаемой жидкости [4]) $b_{ij}=1$ и $c_{ij}=c$.

Перейдем в уравнениях для $\theta_{11}, \theta_{12}, \theta_{22}$ к переменным $\vartheta_{ij}=\theta_{ij}/\theta_{ij0}$, z, x ; устремим x к бесконечности и учтем, что в условиях рассматриваемой задачи [2]

$$\xi_1/\xi_{10} \sim \xi(z); \quad t/t_0 \sim \exp(-z^2/2); \quad \xi_{10} \sim L/(3Ax); \quad L = \text{const.}$$

В результате получим обыкновенные дифференциальные уравнения

$$\vartheta_{11}'' + v_{11}'(1/z + z) + \vartheta_{11}[6 - c/(2Sc_t \ln 2) + 4L\xi] = -2\gamma_{11}\xi'^2, \quad (18)$$

$$\vartheta_{12}'' + v_{12}'(1/z + z) + \vartheta_{12}[5 - c/(2Sc_t \ln 2) + 2L\xi] = 2\gamma_{12}z\xi \exp(-z^2/2), \quad (19)$$

$$\vartheta_{22}'' + \vartheta_{22}'(1/z + z) + \vartheta_{22}[4 - c/(2Pr_t \ln 2)] = -2\gamma_{22}z^2 \exp(-z^2), \quad (20)$$

$$2\gamma_{11} \sim \xi_{10}^2/\theta_{110}, \quad 2\gamma_{12} \sim t_0\xi_{10}/\theta_{120}, \quad 2\gamma_{22} \sim t_0^2/\theta_{220}, \quad (21)$$

где $\xi(z)$ и L являются решением задачи [2]

$$\xi'' + \xi'(1/z + z) + 3\xi - L\xi^2 = 0, \quad \xi(0) = 1, \quad \xi(\infty) = \xi'(0) = 0$$

(вычисления дают $L=1,867\dots$), γ_{11}, γ_{12} и γ_{22} — постоянные.

Задачей (12), (18) — (20) определяются функции ϑ_{ij} и постоянные γ_{ij} , $i, j=1, 2$. Заметим, что уравнения (18) — (20) не связаны между собой в отличие от уравнений (6), (17) для $\theta_{11}, \theta_{12}, \theta_{22}$. В случае $c=8Sc_t \ln 2$ для ϑ_{22} , γ_{22} имеем аналитическое решение

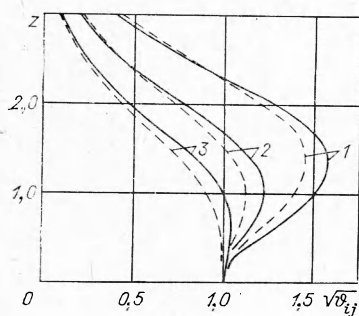
$$\vartheta_{22} = 2\gamma_{22} [E_i(-z^2) - E_i(-z^2/2) - e^{-z^2/2}], \quad 2\gamma_{22} = 2/(2 \ln 2 - 1).$$

Этот профиль, а также найденные с помощью вычислений на ЭВМ профили $\vartheta_{12}(z)$, $\vartheta_{11}(z)$ (соответствующие $c=8Sc_t \ln 2$) показаны на рисунке пунктирными линиями 3, 2, 1 соответственно. Вычисления дали также: $2\gamma_{11}=30,77$, $2\gamma_{12}=14,66$.

Сплошными линиями 1, 2, 3 показаны профили $\hat{\vartheta}_{ij}$, соответствующие значению $c=5,8$. При этом найдено $2\gamma_{11}=56,85$, $2\gamma_{12}=28,68$, $2\gamma_{22}=12,49$. Различие между соответствующими пунктирными и сплошными кривыми характеризует влияние значения эмпирической постоянной на распределение пульсационных параметров.

Вследствие последнего из соотношений (11) $\sqrt{T'^2}/T_\infty t_0 \sim \sqrt{1/\gamma_{22}}$. Судя по опытным данным, приведенным в работах [5—7], это отношение ориентировочно равно 0,4. Если исходить из этого эмпирического факта, то, как нетрудно видеть, следует применить в расчетах $c=5,8$.

Заметим, что если бы электроны являлись консервативной примесью ($\omega_1 \equiv 0$), то их асимптотическое распределение совпадало бы с распределением температуры. Отсюда следует, что различие между кривыми 1 и 3 характеризует влияние химической реакции на распределение пульсаций электронной концентрации. Из рисунка видно, что химическая реакция приводит к значительному увеличению внеосевого максимуму-



ма в распределении среднеквадратичного значения пульсаций электронной концентрации поперек следа. Вместе с тем сравнение значений γ_{11} и γ_{22} свидетельствует о том, что химическая реакция одновременно приводит к уменьшению осевого значения относительной пульсации θ_{110}/ξ_{10}^2 . В результате отношение интегральных характеристик распределения относительных пульсаций при наличии и отсутствии реакций оказывается близким к единице.

$$\left(\frac{\int_0^\infty \theta_{11}/\xi_{10}^2 r dr}{\int_0^\infty \theta_{22}/t_0^2 r dr} \right)^{1/2} \sim \left(\frac{\gamma_{22}}{\gamma_{11}} \frac{\int_0^\infty \theta_{11} z dz}{\int_0^\infty \theta_{22} z dz} \right)^{1/2} = 0,923.$$

Коэффициент корреляции полей температуры и концентрации $T'\xi_1/\sqrt{T'^2\xi_1^2}$ оказывается практически не зависящим от координаты z и равным 0,86 при $c=8Sc_t \ln 2$ и 0,928 при $c=5,8$.

*Поступила в редакцию
3/V 1973*

ЛИТЕРАТУРА

1. Л. И. Скурин. ИФЖ, 1972, **XXIII**, 1.
 2. Л. И. Скурин. Тр. IV Всес. совещ. по тепломассообмену, т. 1, ч. 3, 1972.
 3. Л. И. Скурин. Изв. АН СССР, МЖГ, 1972, 6.
 4. К. Е. Джаугашти. Изв. АН СССР, МЖГ, 1970, 3.
 5. J. Fox, H. Rungaldier. AIAA — Paper, 1968, 68—71.
 6. J. Fox, H. Rungaldier. AIAAJ, 1971, 9, 2.
 7. C. H. Gibson, C. C. Chen, S. C. Lin. AIAAJ, 1968, 6, 4.
-